

# Curvatura i Geometria Integral

REVEN

6 octubre 2003

Any *I* de l'era **Donaire**

# Corbes planes. Curvatura

- $k = \frac{1}{R}$  (circumferència)

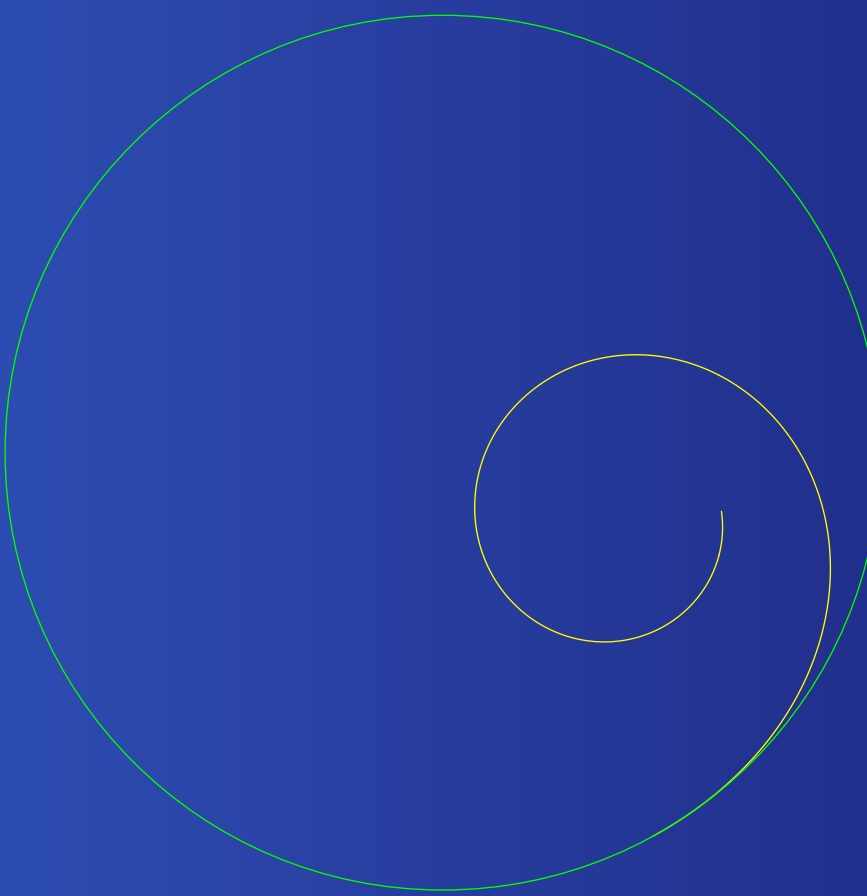
# Corbes planes. Curvatura

- $k = \frac{1}{R}$  (circumferència)
- $k(p) = \frac{1}{R(p)}$  (cercle osculador)

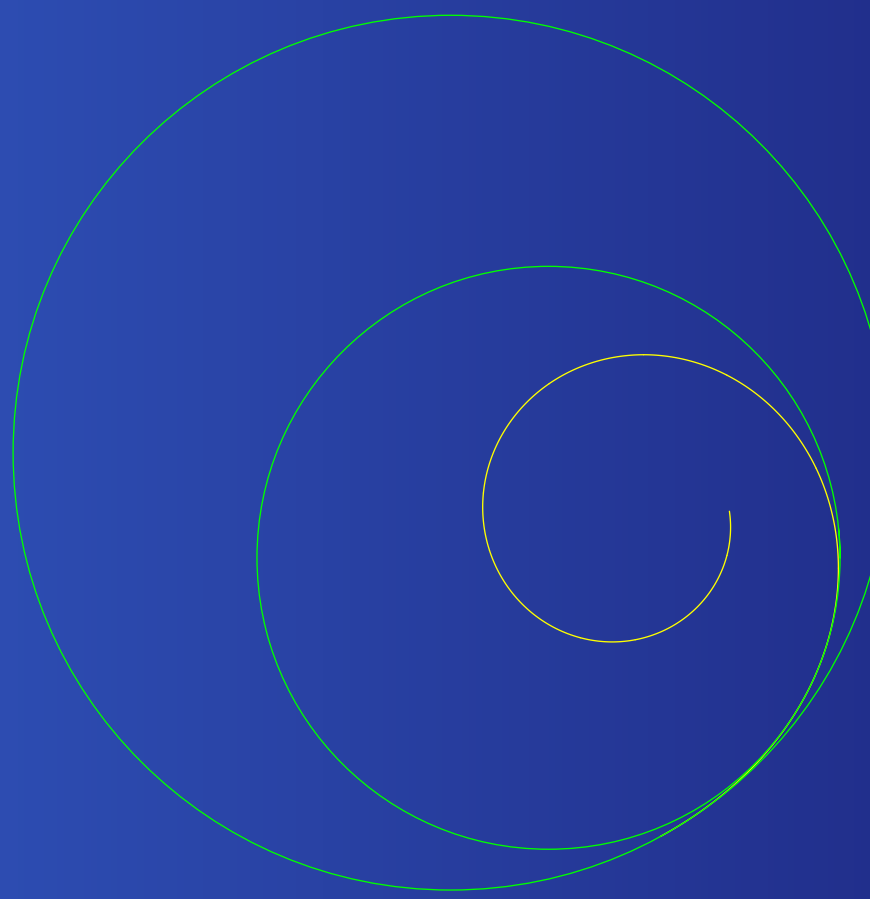
# Corbes planes. Curvatura

- $k = \frac{1}{R}$  (circumferència)
- $k(p) = \frac{1}{R(p)}$  (cercle osculador)
- $k(s) = |\ddot{\gamma}(s)|$

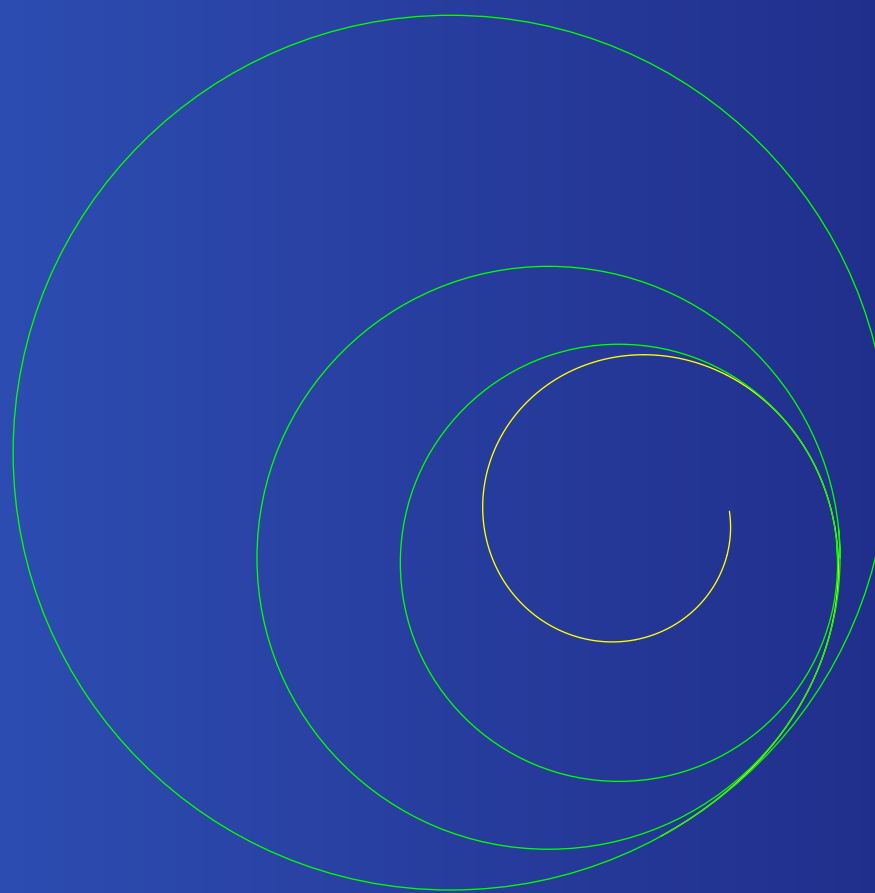
# Cercle osculador



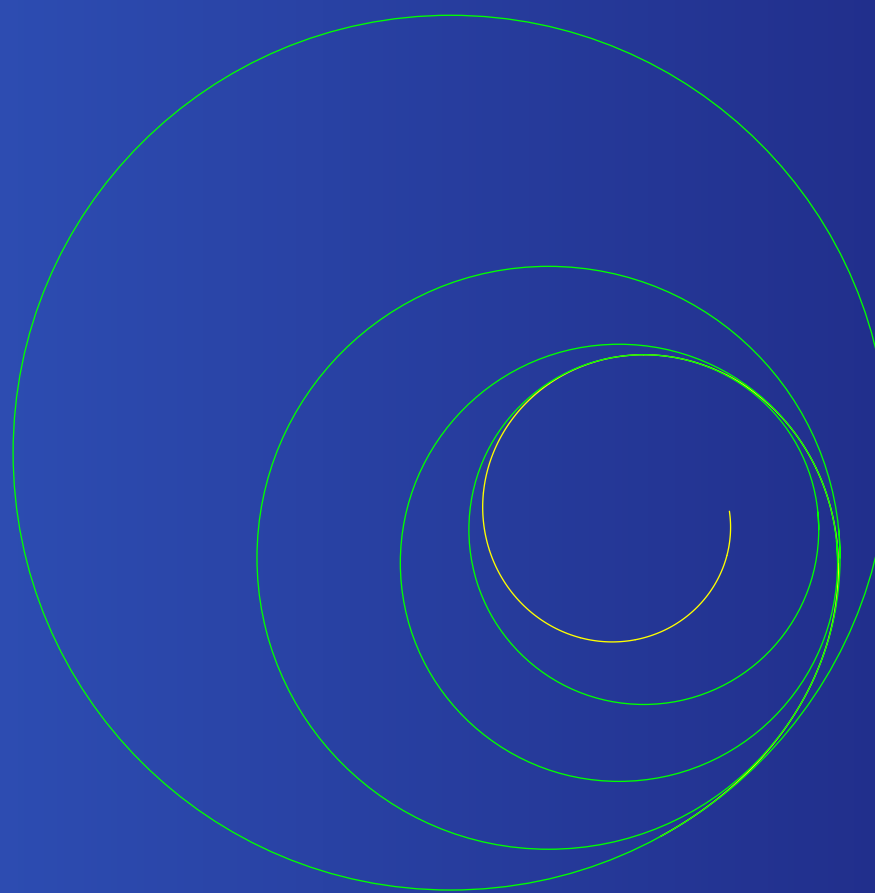
# Cercle osculador



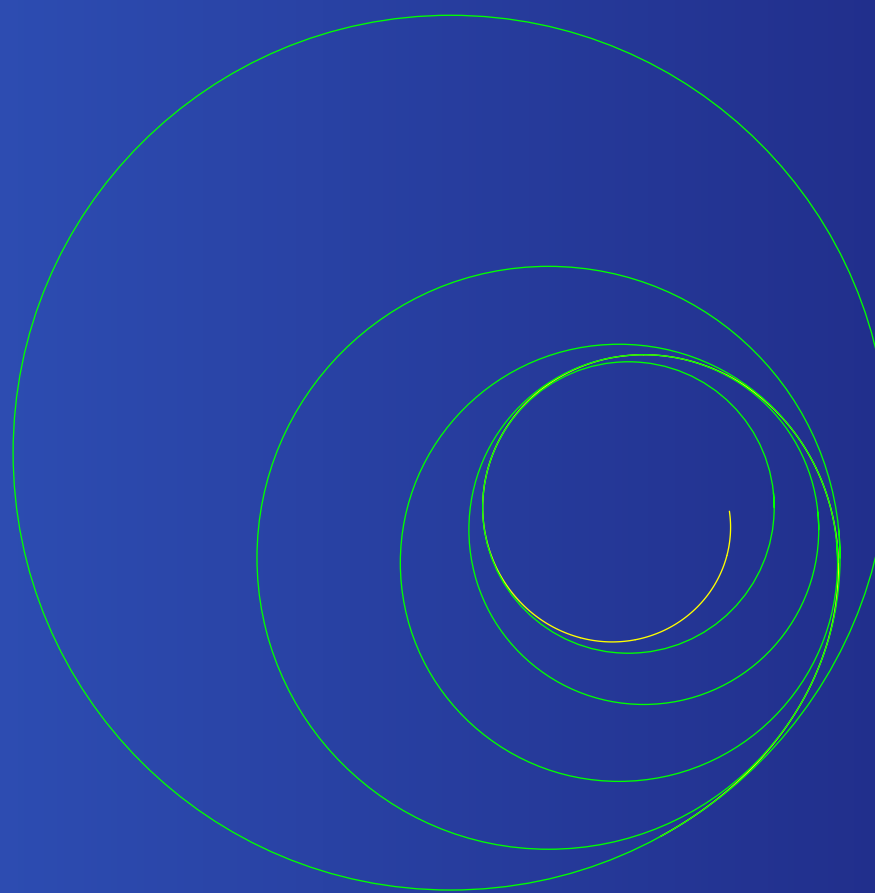
# Cercle osculador



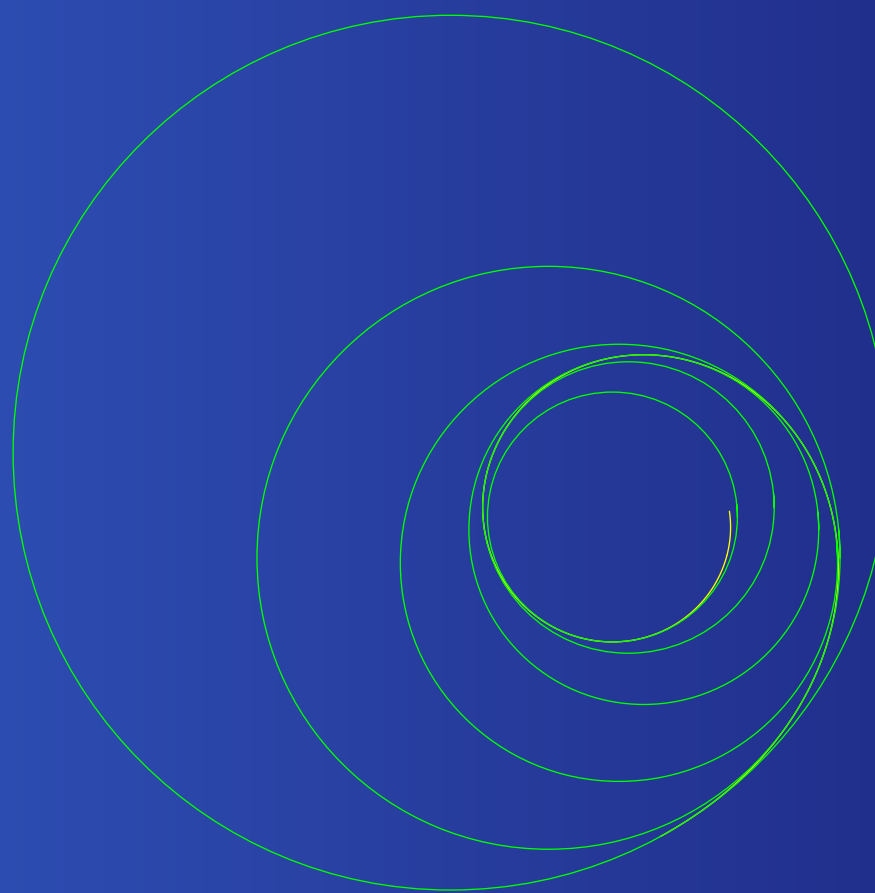
# Cercle osculador



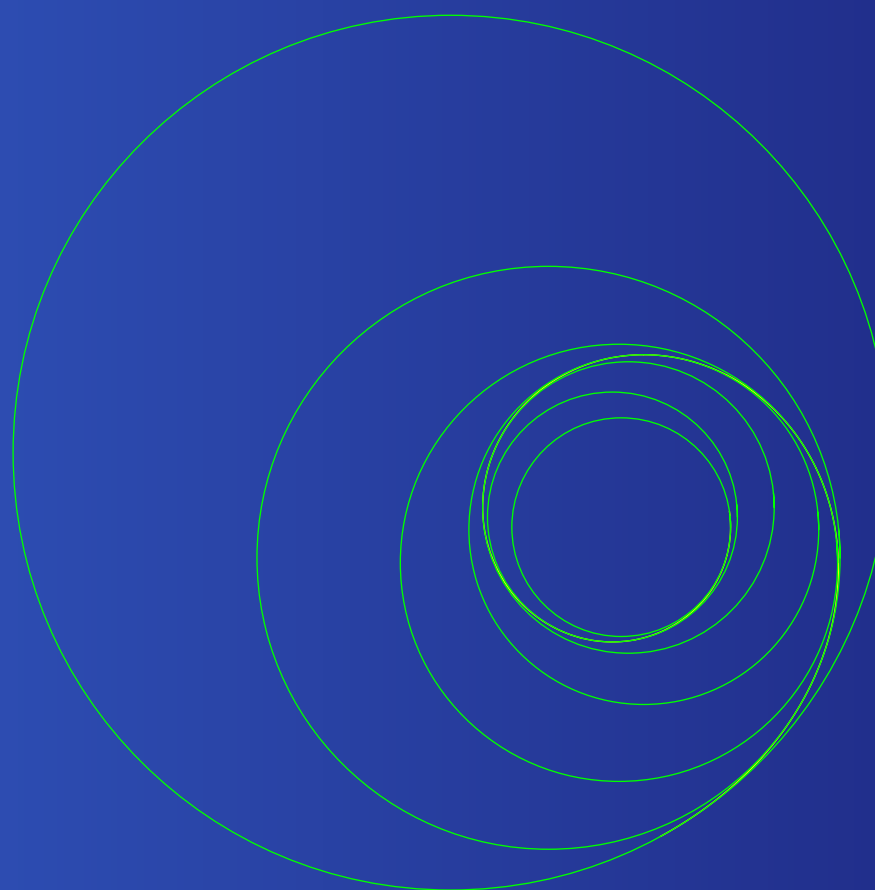
# Cercle osculador



# Cercle osculador



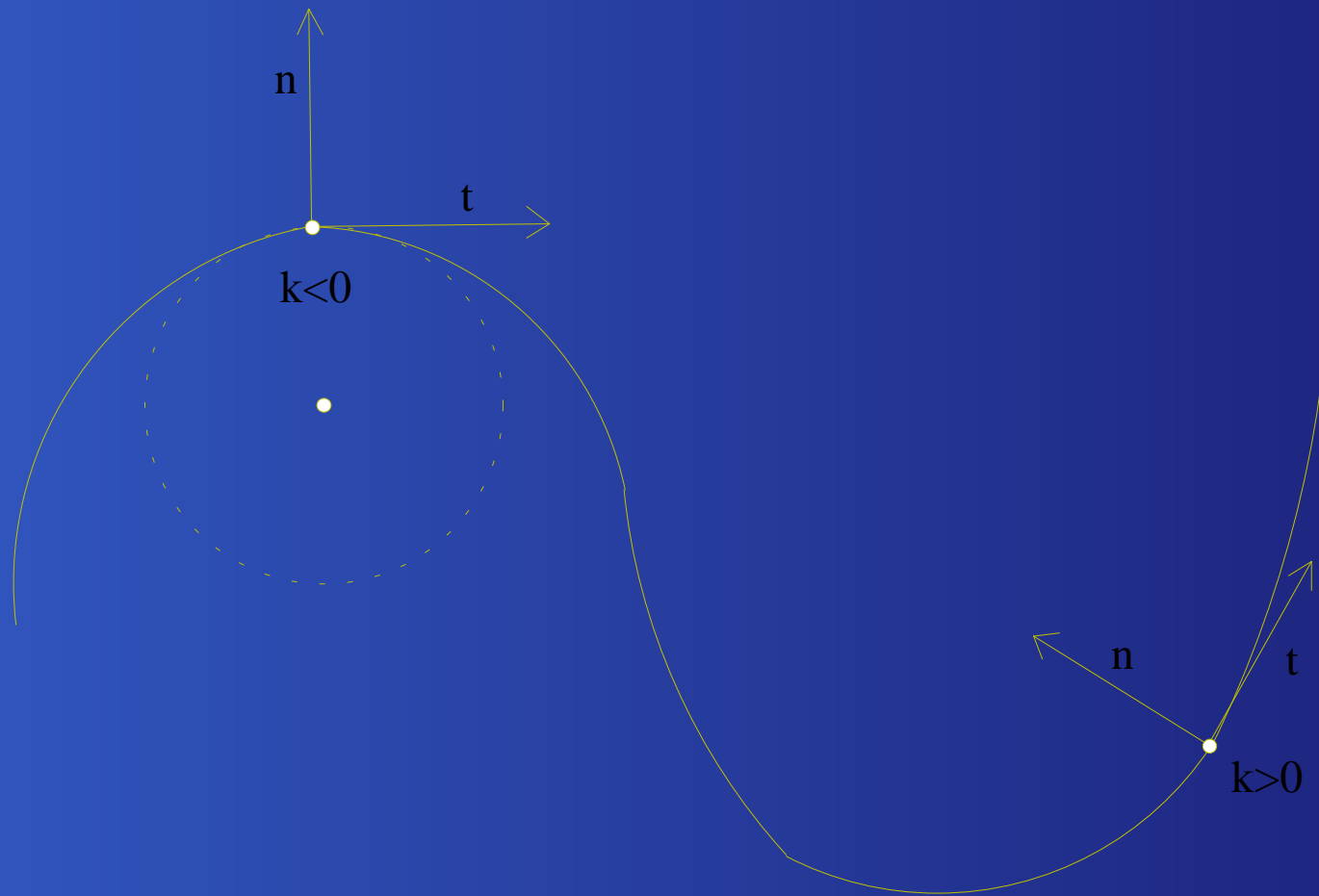
# Cercle osculador



# Curvatura amb signe

- $k = \frac{d\tau}{ds}$
- $\frac{d\vec{t}}{ds} = k\vec{n}$        $\{\vec{t}, \vec{n}\}$  positiva.

# Curvatura amb signe



# Aplicació de Gauss



# Aplicació de Gauss

- $k(p) =$  Jacobià de l'aplicació de Gauss  $\gamma$ .
- $k(p) = \lim_{C \rightarrow p} \frac{\text{Longitud de } \gamma(C)}{\text{Longitud de } C}$   
(Jacobià= $\det d\gamma(p)$ )

# Gauss 1777 – 1855, Göttingen

# Integral de la curvatura

**Teorema** Si  $C$  és una corba plana tancada i simple, llavors

$$\int_C k(s) ds = 2\pi$$

# Integral de la curvatura

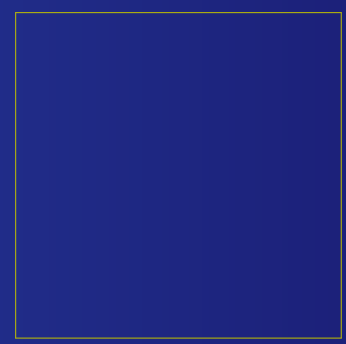
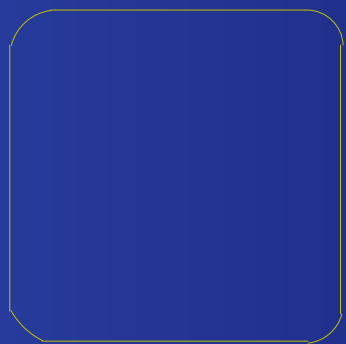
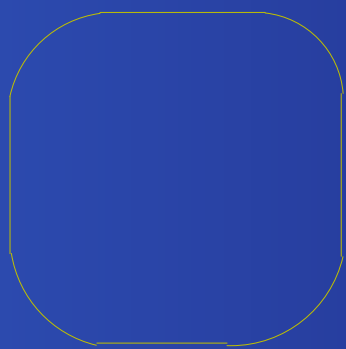
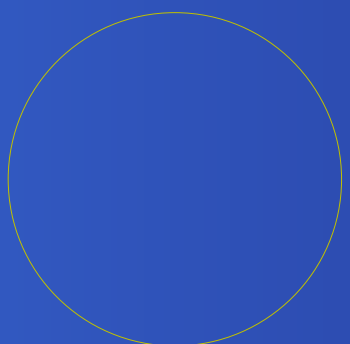
**Teorema** Si  $C$  és una corba plana tancada i simple, llavors

$$\int_C k(s) ds = 2\pi$$

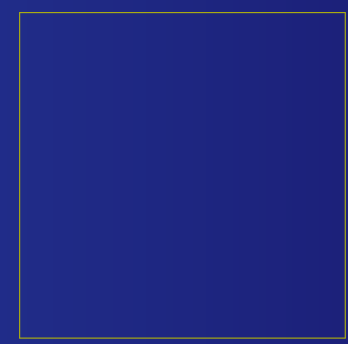
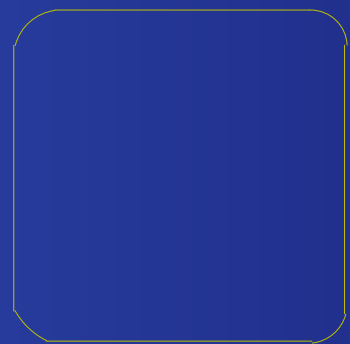
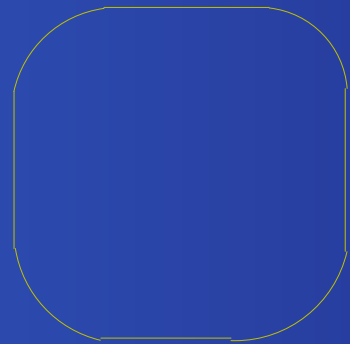
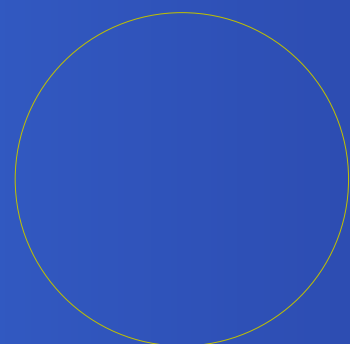
- Demostració:

$$\int_C k(s) ds = \int_C \frac{d\tau}{ds} ds = \tau_1 - \tau_0 = 2\pi$$

# Punts singulars

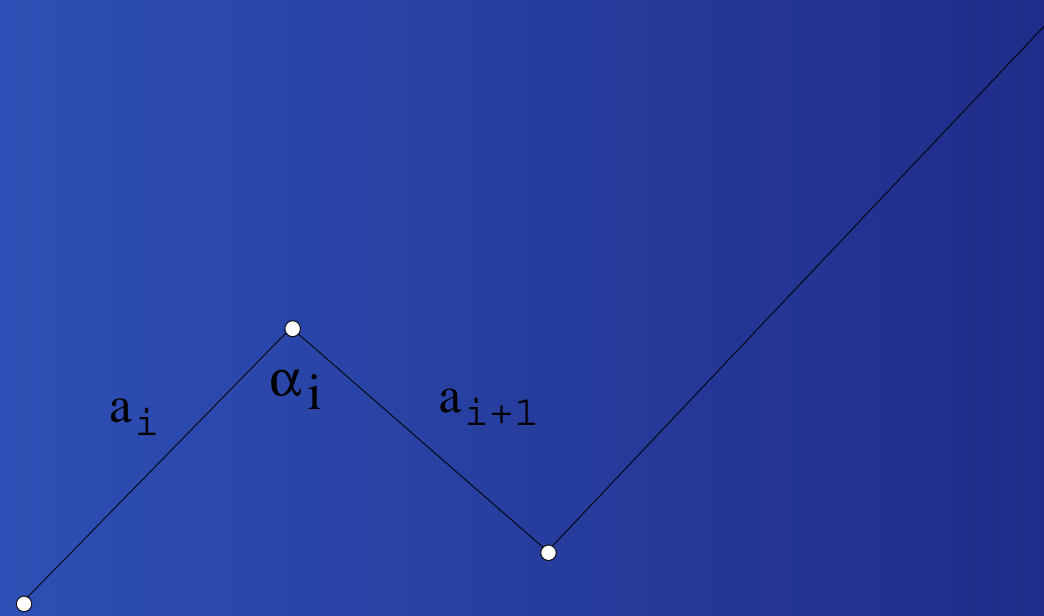


# Punts singulars



- La curvatura s'acumula en els vèrtexs.

# Punts singulars



- $k = \frac{\alpha_i}{a_i}$  (Carlos Rodriguez)

# Curvatura total absoluta

Definició Curvatura total absoluta

$$c_a = \int_C |k(s)| ds$$

# Curvatura total absoluta

Definició Curvatura total absoluta

$$c_a = \int_C |k(s)| ds$$

Teorema [I.Fáry, W. Fenchel, J. Milnor (1950)]

- $c_a \geq 2\pi$
- $c_a \geq \frac{L}{r}$

$L$ = longitud de la corba.  $r$ = radi d'un cercle que la conté.

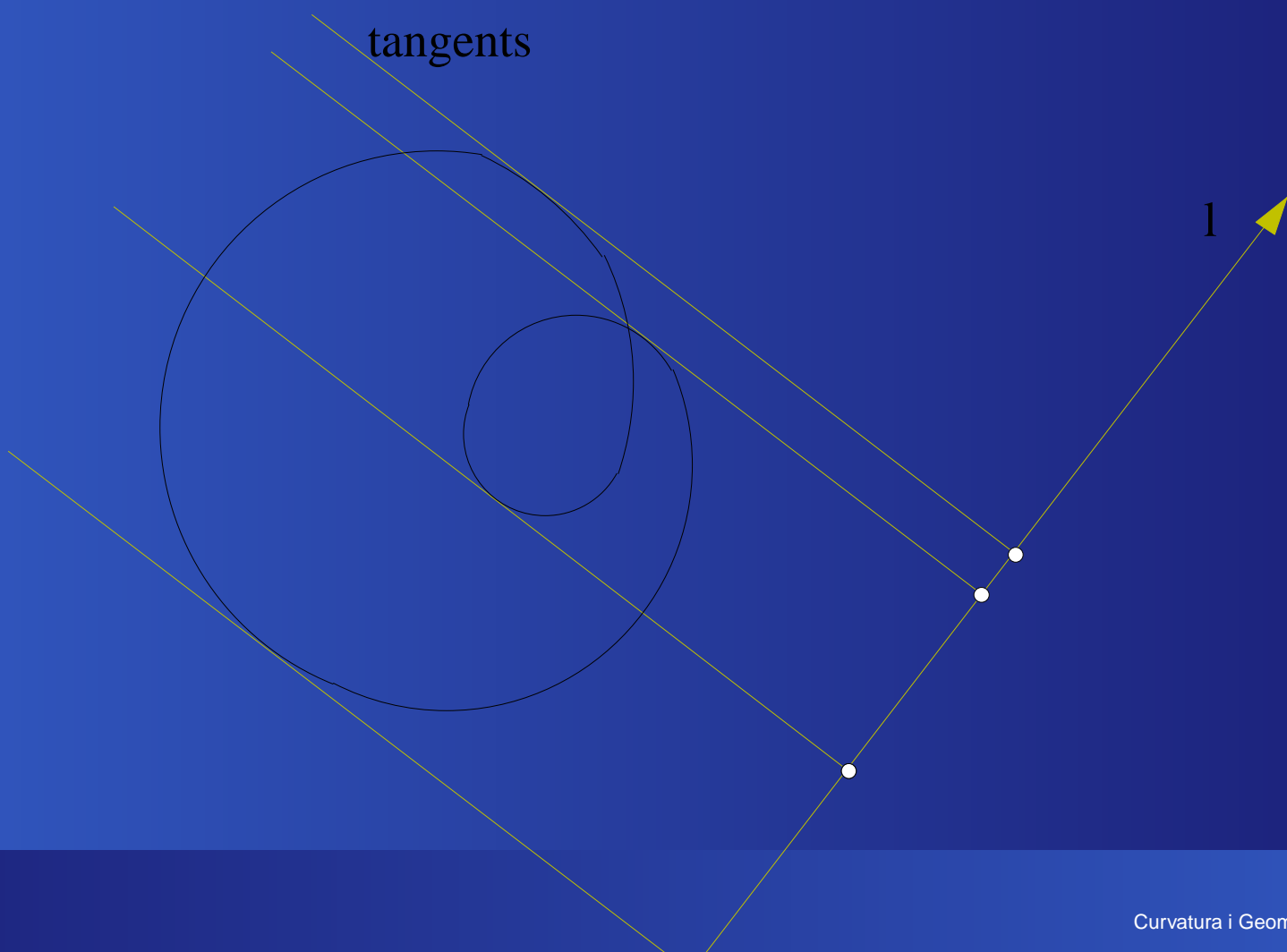
# Teorema de l'intercanvi

## Teorema

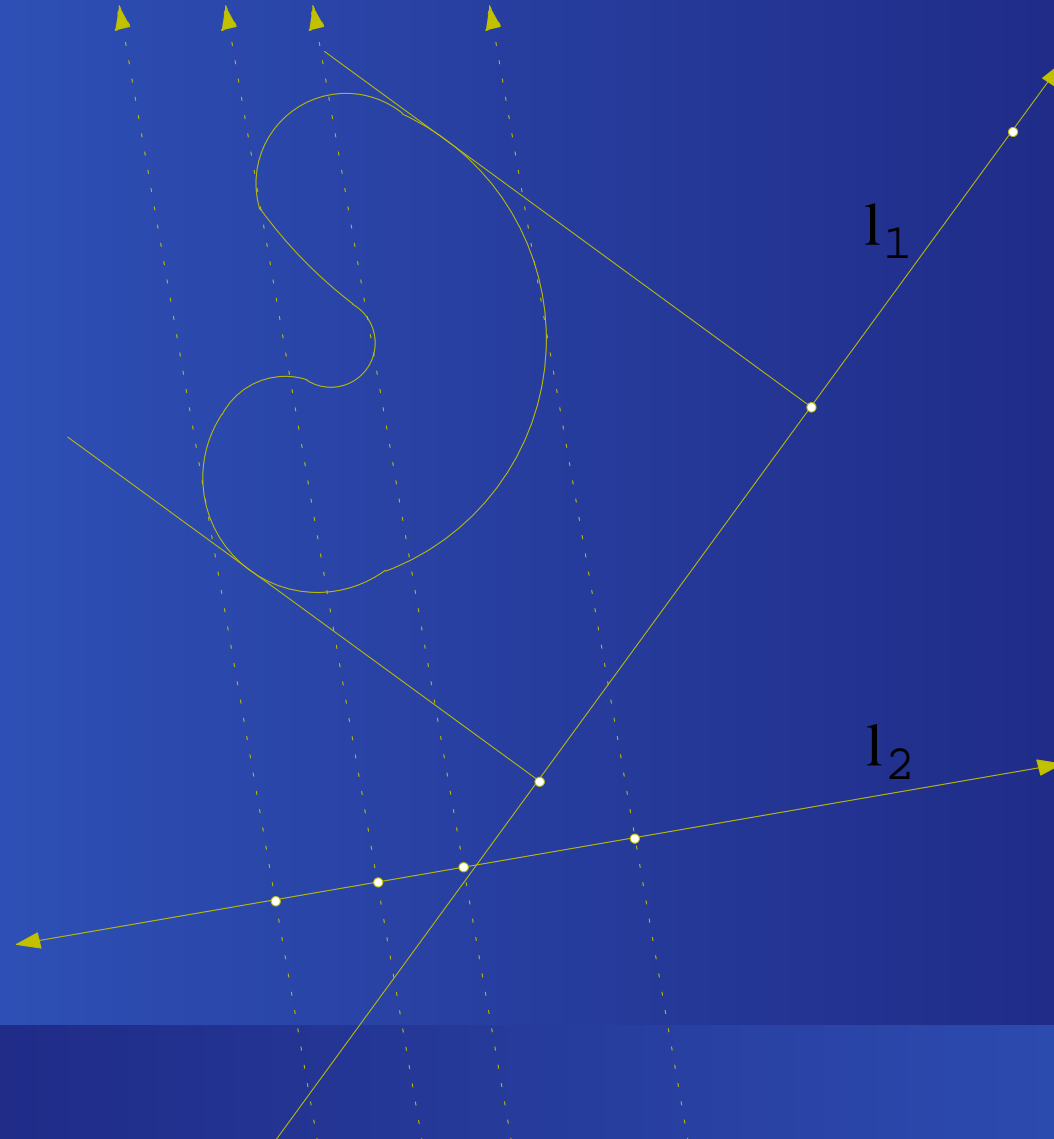
$$\int_C |k(s)| ds = \int_{\mathbb{R}P^1} \mu(l) dl$$

- $l$ = recta arbitrària per l'origen.
- $\mu(l)$ = nombre de punts crítics de la projecció ortogonal de  $C$  sobre  $l$ .
- $dl$ = diferencial de longitud a  $\mathbb{R}P^1$ .

$$\mu(l) = 4$$



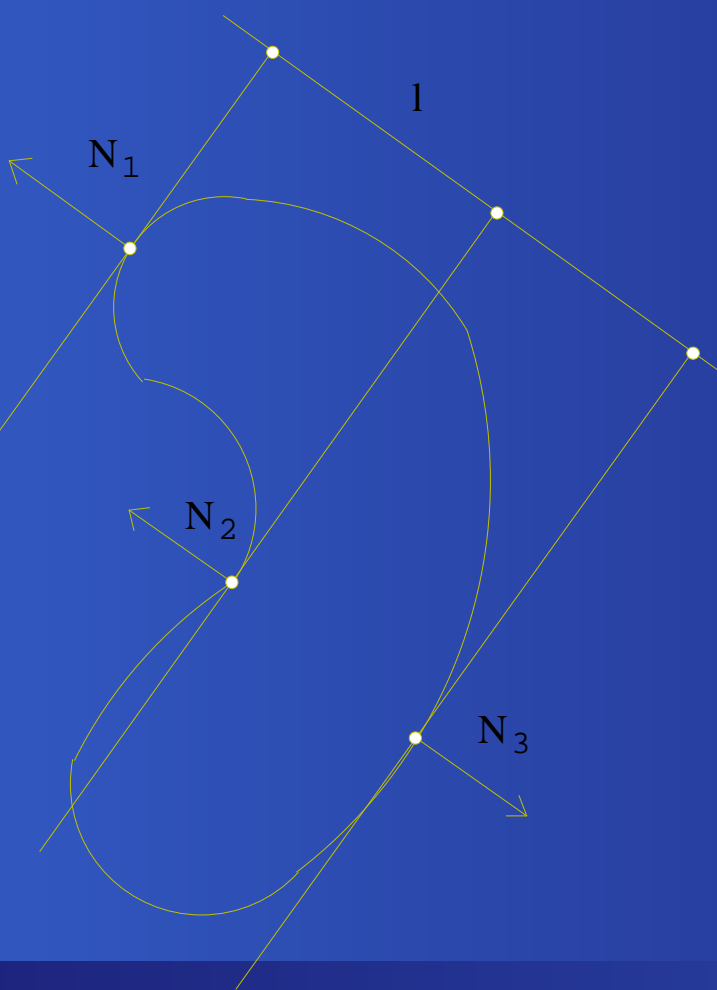
$\mu$  depèn de  $l$



# Demostració de F.F.M.

- $C$  tancada  $\Rightarrow \mu(l) \geq 2$
- $\int_C |k(s)|ds = \int_{\mathbb{R}P^1} \mu(l)dl \geq 2 \int_{\mathbb{R}P^1} dl = 2\pi$

# Demostració de l'intercanvi



aplicació de  
gauss al  
projectiu



# Demostració de l'intercanvi

- On l'aplicació de **Gauss** és difeomeorfisme, l'integral de curvatura és la longitud de la imatge (teorema del canvi de variable)

$$\int_C |k(s)| ds = \int_{\mathbb{R}P^1} dl$$

- $gauss^{-1}(l) = \mu(l)$

# Corbes a l'espai

- $k(s) = |\ddot{\gamma}(s)|$  (Paràmetre arc)

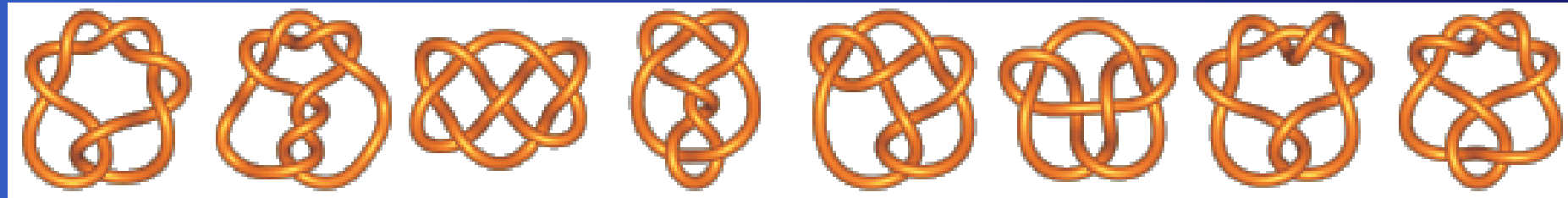
# Corbes a l'espai

- $k(s) = |\ddot{\gamma}(s)|$  (Paràmetre arc)
- Teorema [Fáry, Fenchel, Milnor]
  - $c_a \geq 2\pi$
  - $c_a \geq 4\pi$  si la corba és un nus.

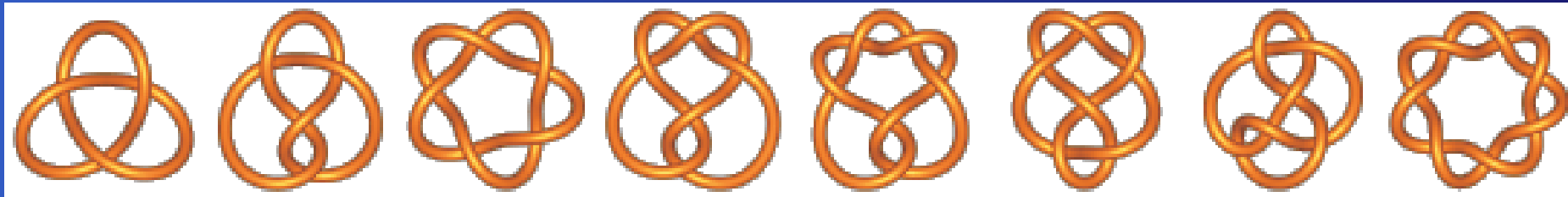
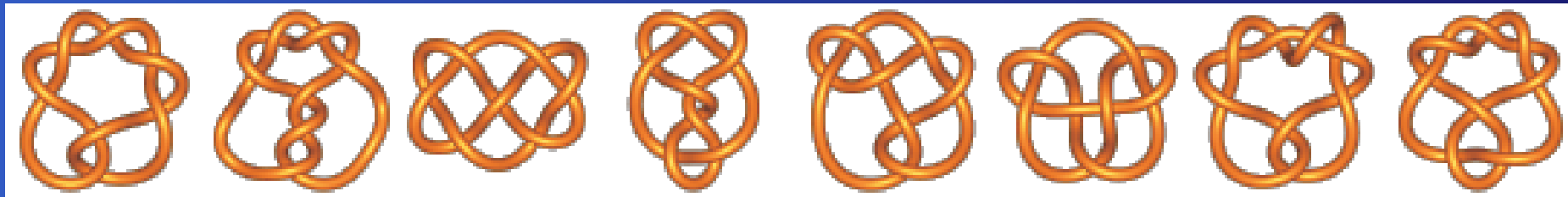
# Corbes a l'espai

- $k(s) = |\ddot{\gamma}(s)|$  (Paràmetre arc)
- Teorema [Fáry, Fenchel, Milnor]
  - $c_a \geq 2\pi$
  - $c_a \geq 4\pi$  si la corba és un nus.
- Més topologia implica més geometria.

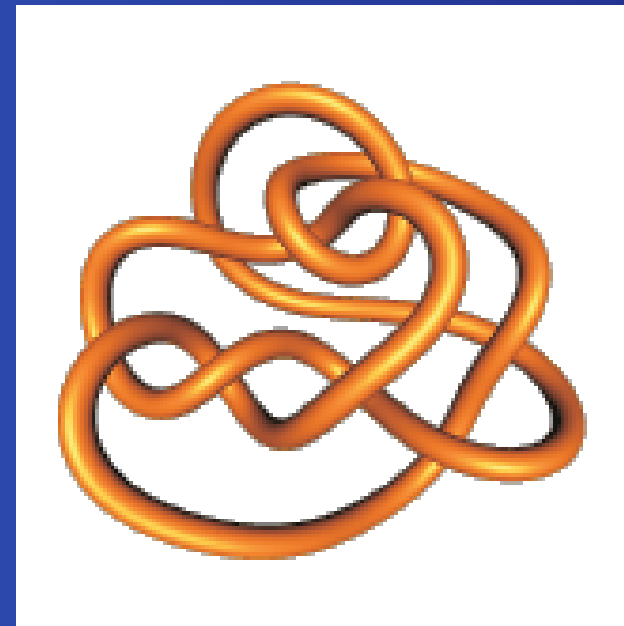
# Nusos i nusos



# Nusos i nusos



# Més nusos?



# Superfícies. Aplicació de Gauss



# Curvatura

Denotem  $\gamma$  l'aplicació de **Gauss**.

- $K(p)$  = Jacobià de l'aplicació de **Gauss**
- $K(p) = \lim_{S \rightarrow p} \frac{\text{Àrea de } \gamma(S)}{\text{Àrea de } S}$

# Curvatura

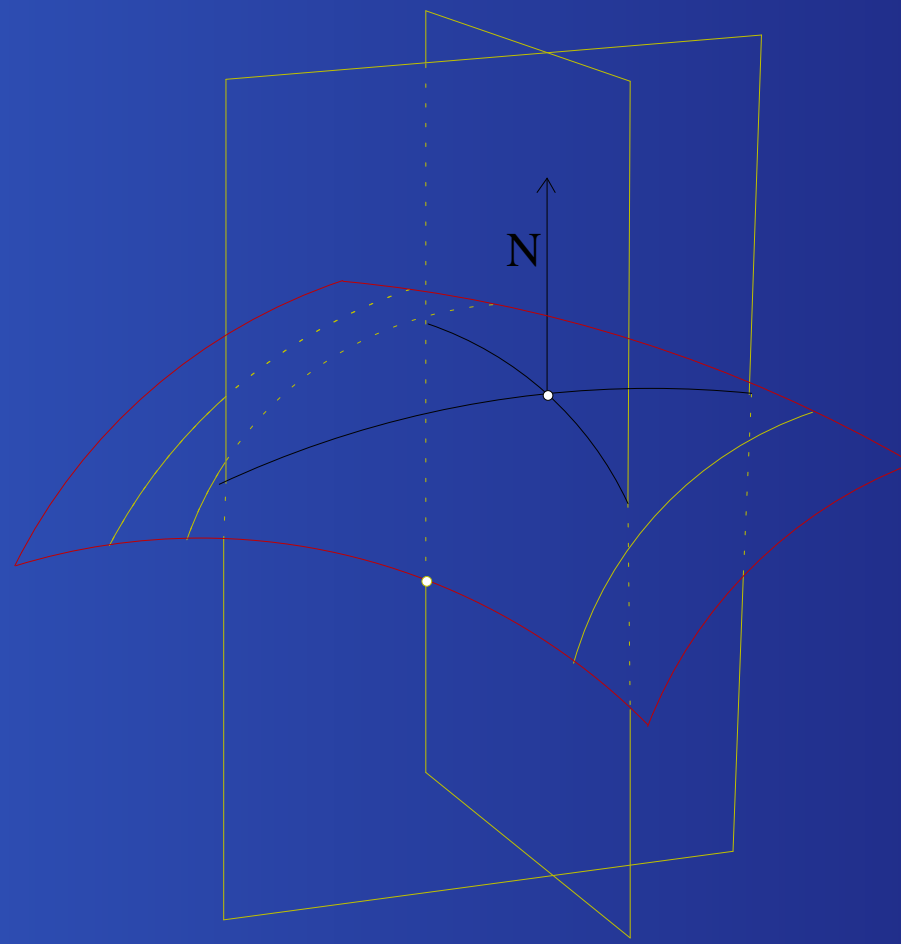
Denotem  $\gamma$  l'aplicació de **Gauss**.

- $K(p) = \text{Jacobià de l'aplicació de Gauss}$
- $K(p) = \lim_{S \rightarrow p} \frac{\text{Àrea de } \gamma(S)}{\text{Àrea de } S}$
- $K(\text{vèrtex}) = \frac{\text{Àrea polígon de les normals}}{\text{Suma d'àrees en el vèrtex}}$

# Curvatures principals

- Les **curvatures principals** són les curvatures màxima i mínima de les corbes que s'obtenen en tallar la superfície pel feix de plans determinat per la normal.
- Les denotem  $k_1$  i  $k_2$ . Són funcions sobre la superfície.

# Curvatures principals



# Curvatures principals

- Teorema [Curvatura de Gauss]

$$K = k_1 \cdot k_2$$

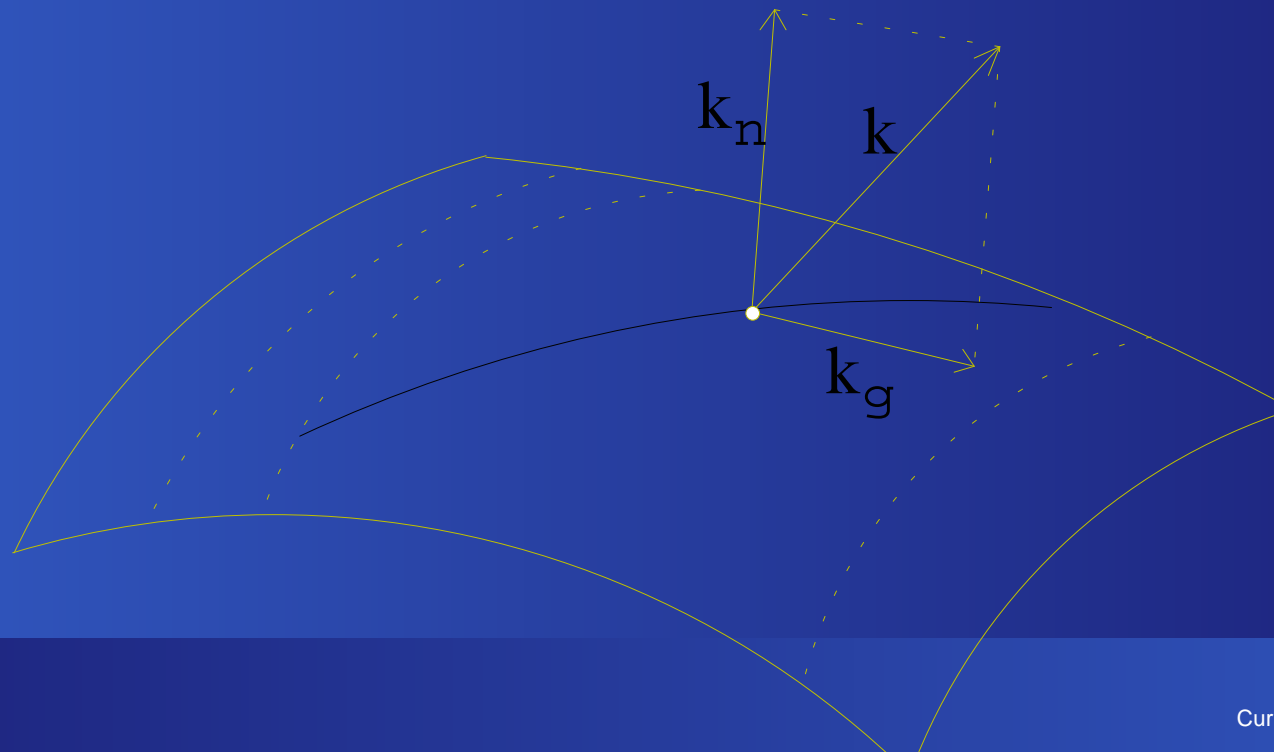
- Definició [Curvatura mitjana]

$$H = \frac{k_1 + k_2}{2}$$

# Curvatura geodèsica

Definició [Curvatura geodèsica]

- $k_g$  = mòdul de la projecció ortogonal sobre el pla tangent del vector acceleració.



# Curvatura geodèsica i normal

- $k^2 = k_g^2 + k_n^2$
- **Teorema [Meusnier]** La curvatura normal és la curvatura de la secció normal.
- $k_n$  = Curvatura de la secció normal ( $N, \vec{t}$ )

# Curvatura geodèsica

- [Q1.] Què podem dir de

$$\int_C k_g \quad ?$$

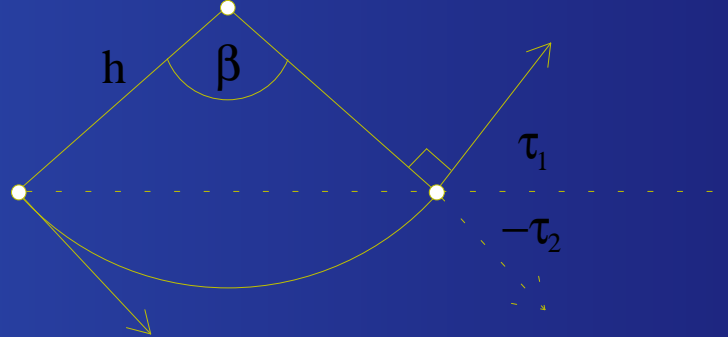
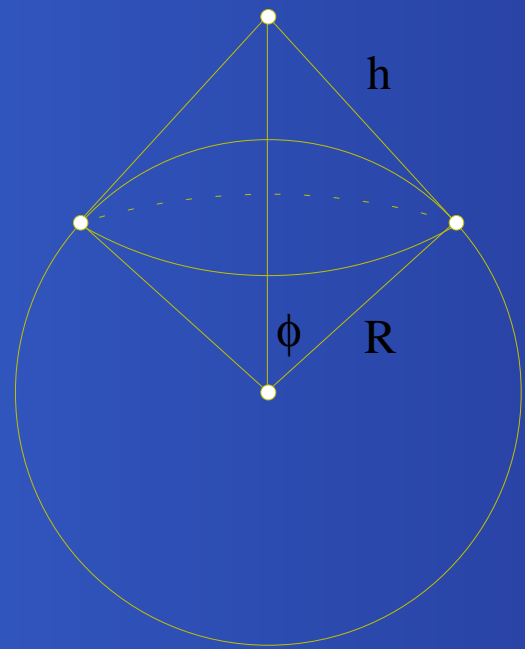
( $C$  corba tancada i simple sobre una superfície.)

- [Q2.] És  $k_g$  la derivada d'un cert angle (tipus  $\frac{d\tau}{ds}$ )?

# Paral·lel d'una esfera. [Q1]

- A l'esfera  $S^2(R)$ ,  $k_n = \frac{1}{R}$ .
- El radi del paral·lel és  $R \sin \phi$ . Així  $k = \frac{1}{R \sin \phi}$ .
- La curvatura geodèsica del paral·lel és
$$k_g = \frac{1}{R} \cot \phi.$$
- I per tant  $\int_P k_g(s) ds = \frac{1}{R} \cot \phi \cdot \int_P ds = 2\pi \cos \phi$

# Paral·lel d'una esfera. [Q2]



$$\beta = 2\pi \cos \phi$$

# Paral·lel d'una esfera. [Q2]

- $k_g = \frac{d\tau}{ds}$
- $\tau$  = angle de la tangent amb un camp paral·lel.
- $\int_C k_g(s) ds = \int_C \frac{d\tau}{ds} ds = \tau_1 - \tau_0 = \beta = 2\pi \cos \phi$

# Integrals de curvatura

- Quina relació hi ha entre la integral de la curvatura geodèsica

$$\int k_g \quad \left( \int_C k_g(s) ds \right)$$

i la integral de la curvatura de Gauss

$$\int K \quad \left( \int_S K(x) dx \right) ?$$

$(dx = \text{element d'àrea} = dA)$

# Cas particular del paral·lel

$S$  casquet esfèric.

$C = \partial S$  paral·lel vora de  $S$ .

- $\int_C k_g(s)ds = \frac{1}{R} \cot \phi \int_C ds = 2\pi \cos \phi$
- $\int_S K(x)dx = \frac{1}{R^2} \int_S dx = \frac{1}{R^2}$  àrea del casquet

# Cas particular del paral·lel

$S$  casquet esfèric.

$C = \partial S$  paral·lel vora de  $S$ .

- $\int_C k_g(s)ds = \frac{1}{R} \cot \phi \int_C ds = 2\pi \cos \phi$
- $\int_S K(x)dx = \frac{1}{R^2} \int_S dx = \frac{1}{R^2}$  Arquimedes

# Cas particular del paral·lel

$S$  casquet esfèric.

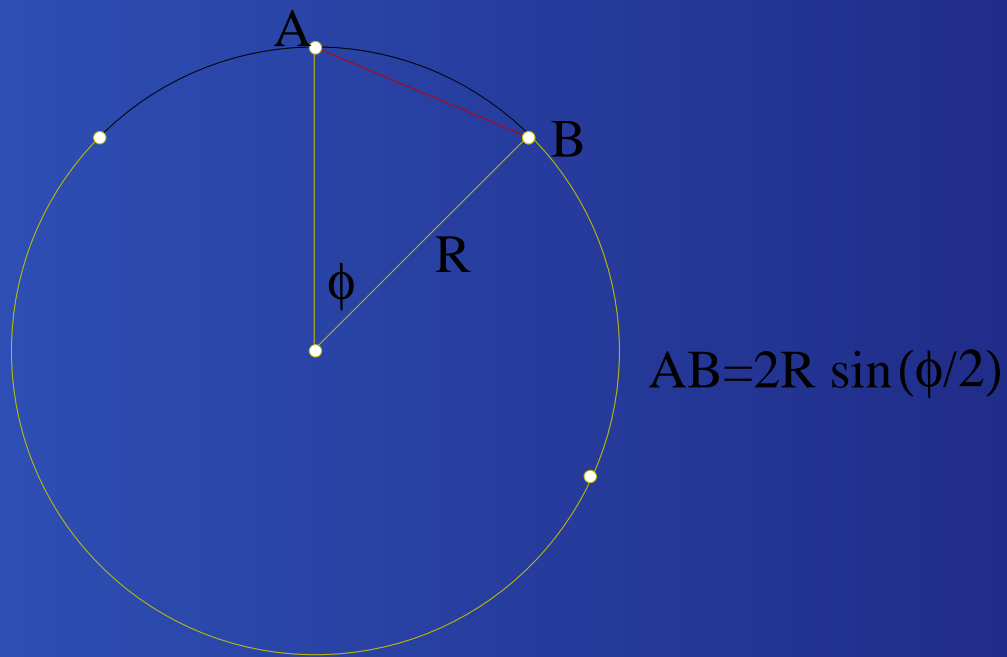
$C = \partial S$  paral·lel vora de  $S$ .

- $\int_C k_g(s)ds = \frac{1}{R} \cot \phi \int_C ds = 2\pi \cos \phi$
- $\int_S K(x)dx = \frac{1}{R^2} \int_S dx = 2\pi - 2\pi \cos \phi$

# Àrea d'un casquet

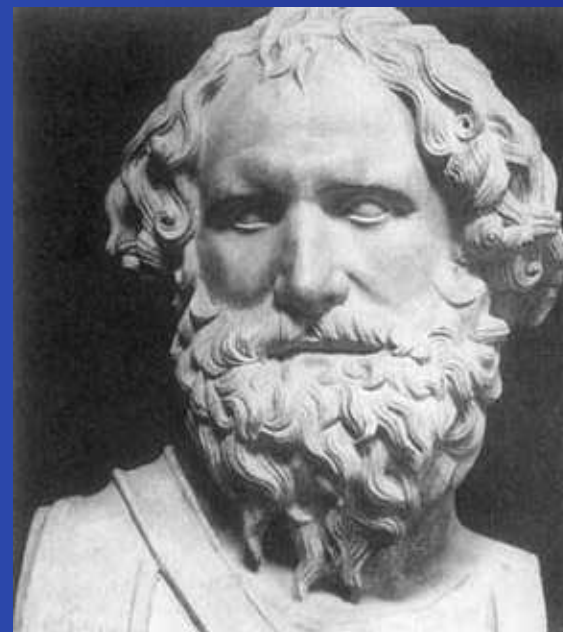
- **Teorema [Arquimedes]** L'àrea d'un casquet esfèric és igual a l'àrea d'un cercle de radi la distància entre el centre i la vora del casquet.

# Àrea d'un casquet



$$\text{Àrea} = \pi AB^2 = 4\pi R^2 \sin^2(\phi/2) = 2\pi R^2(1 - \cos \phi)$$

# Arquimedes, -200, Siracusa



# Conjectura

- Conjectura:  $\int_{\partial S} k_g + \int_S K = 2\pi$  ?
- Petita dificultat: El mateix paral·lel és vora de dos casquets.

# Gauss-Bonnet

Teorema [Gauss-Bonnet]  $S$  superfície de  $\mathbb{R}^3$

$$\int_S K dA + \int_{\partial S} k_g ds = 2\pi$$

# Gauss-Bonnet

Teorema [Gauss-Bonnet]  $S$  superfície de  $\mathbb{R}^3$

$$\int_S K dA + \int_{\partial S} k_g ds = 2\pi\chi(S)$$

# Gauss-Bonnet

Teorema [Gauss-Bonnet]  $S$  superfície de  $\mathbb{R}^3$

$$\sum_i (\pi - \alpha_i) + \int_S K dA + \int_{\partial S} k_g ds = 2\pi\chi(S)$$

# **Bonnet** 1819 – 1892 Montpellier



# Triangles geodèsics a $S^2(1)$

- $K = 1$

Teorema [Gauss-Bonnet]

$$\sum_{i=1}^3(\pi - \alpha_i) + \int_S dA + 0 = 2\pi$$

# Triangles geodèsics a $S^2(1)$

- $K = 1$

Teorema [Gauss-Bonnet]

$$\sum_{i=1}^3(\pi - \alpha_i) + \int_S dA + 0 = 2\pi$$

- Àrea =  $\sum_{i=1}^3 \alpha_i - \pi$  = Defecte

# Triangles geodèsics a $S^2(i)$

- $K = 1/i^2 = -1$

**Teorema** [Teorema de **Gauss-Bonnet**]

$$\sum_{i=1}^3(\pi - \alpha_i) - \int_S dA + 0 = 2\pi$$

# Triangles geodèsics a $S^2(i)$

- $K = 1/i^2 = -1$

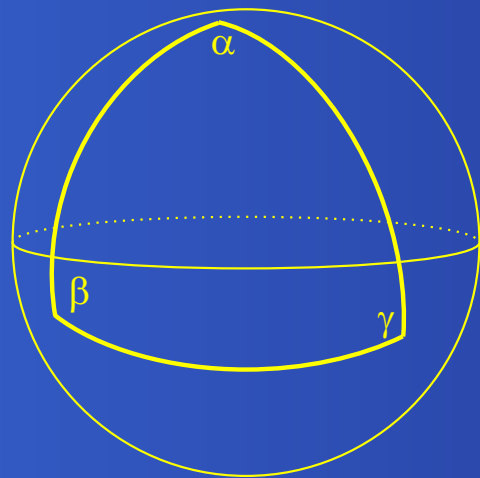
**Teorema** [Teorema de **Gauss-Bonnet**]

$$\sum_{i=1}^3(\pi - \alpha_i) - \int_S dA + 0 = 2\pi$$

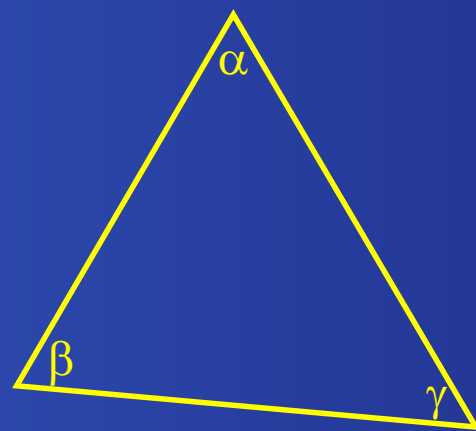
- Àrea =  $\pi - \sum_{i=1}^3 \alpha_i$  = Defecte

# Defecte. $\Sigma = \alpha + \beta + \gamma$

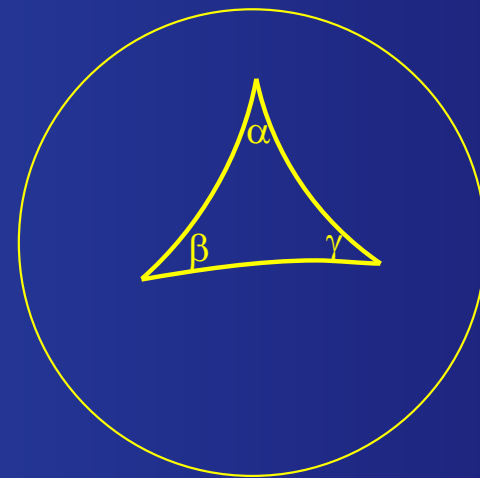
$$\mathbb{S}^2(1)$$



$$\mathbb{E}^2$$



$$\mathbb{S}^2(i)$$



$$\Sigma > \pi$$

$$\delta = \Sigma - \pi$$

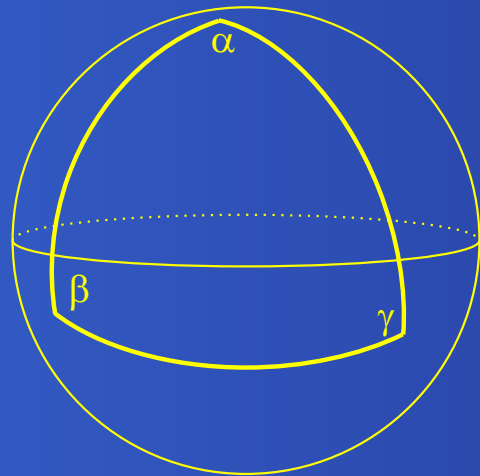
$$\Sigma = \pi$$

$$\Sigma < \pi$$

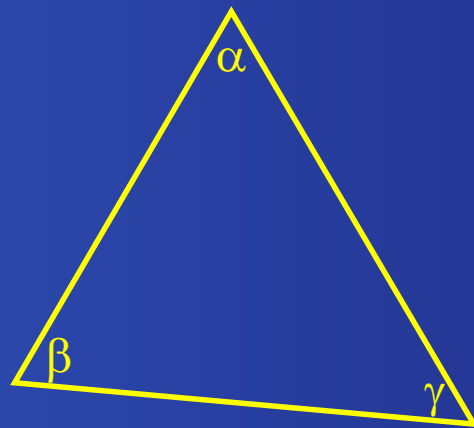
$$\delta = \pi - \Sigma$$

# Defecte. $\Sigma = \alpha + \beta + \gamma$

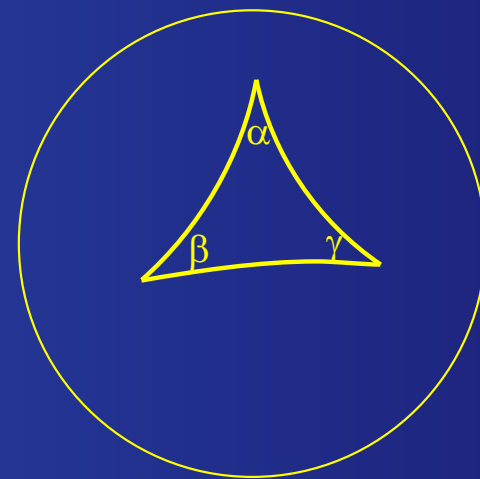
$$\mathbb{S}^2(1)$$



$$\mathbb{E}^2$$



$$\mathbb{S}^2(i)$$



$$\Sigma > \pi$$

$$\delta = \Sigma - \pi$$

$$\Sigma = \pi$$

$$\Sigma < \pi$$

$$\delta = \pi - \Sigma$$

Àrea=Defecte

# Corbes dif. a $S^2(1)$

- $K = 1$

Teorema [Gauss-Bonnet]

$$0 + \int_S dA + \int_{\partial S} k_g ds = 2\pi$$

# Corbes dif. a $S^2(1)$

- $K = 1$

Teorema [Gauss-Bonnet]

$$0 + \int_S dA + \int_{\partial S} k_g ds = 2\pi$$

- Àrea =  $2\pi - \int_{\partial S} k_g ds$  = Defecte

# Corbes dif. a $S^2(i)$

- $K = -1$

Teorema [Gauss-Bonnet]

$$0 - \int_S dA + \int_{\partial S} k_g ds = 2\pi$$

# Corbes dif. a $S^2(i)$

- $K = -1$

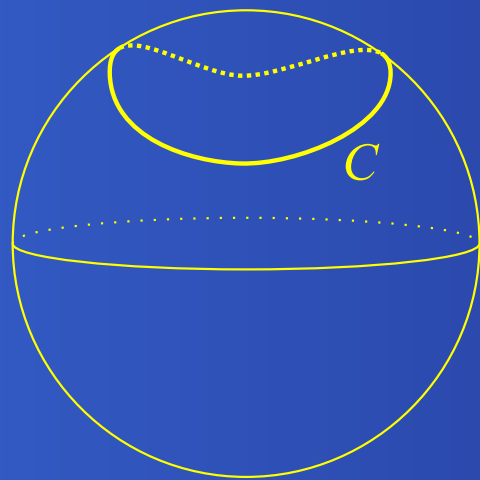
Teorema [Gauss-Bonnet]

$$0 - \int_S dA + \int_{\partial S} k_g ds = 2\pi$$

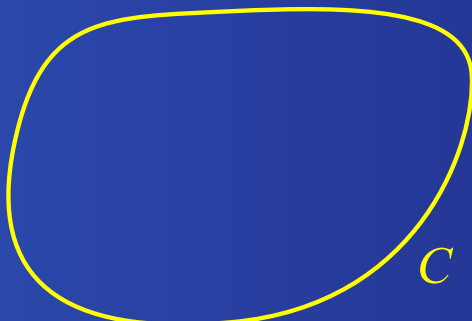
- Àrea =  $\int_{\partial S} k_g ds - 2\pi$  = Defecte

# Defecte. Cas diferenciable

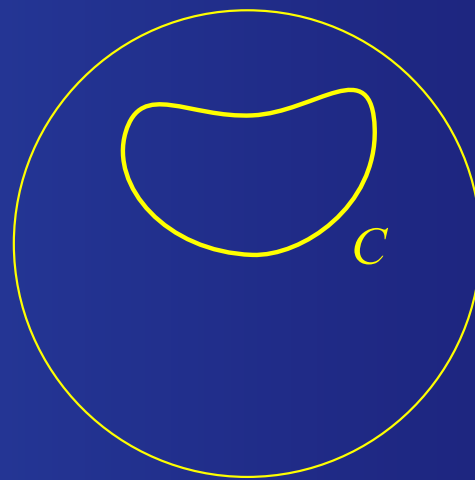
$$\mathbb{S}^2(1)$$



$$\mathbb{E}^2$$



$$\mathbb{S}^2(i)$$



$$\int k_g < 2\pi$$

$$\delta = 2\pi - \int k_g$$

$$\int k_g = 2\pi$$

$$\int k_g > 2\pi$$
$$\delta = \int k_g - 2\pi$$

Àrea=Defecte

# Geometria Integral



# El professor Santaló

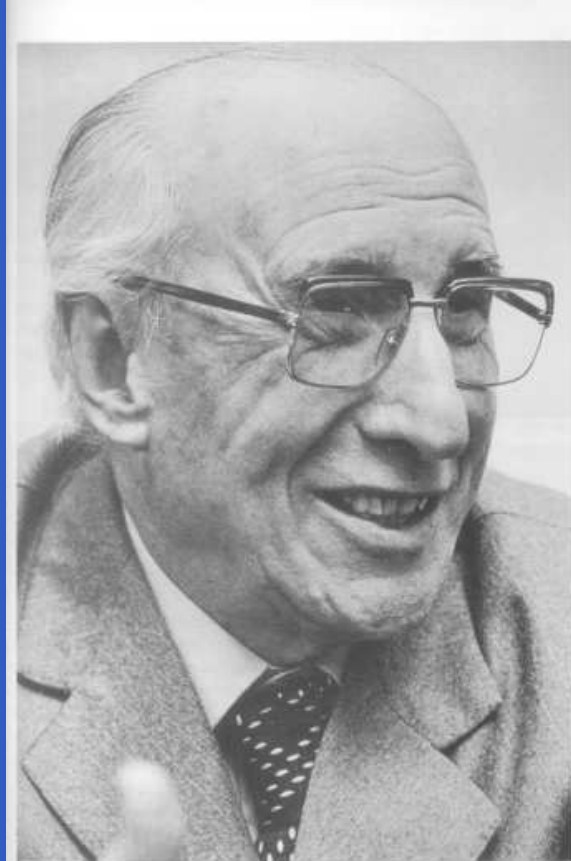
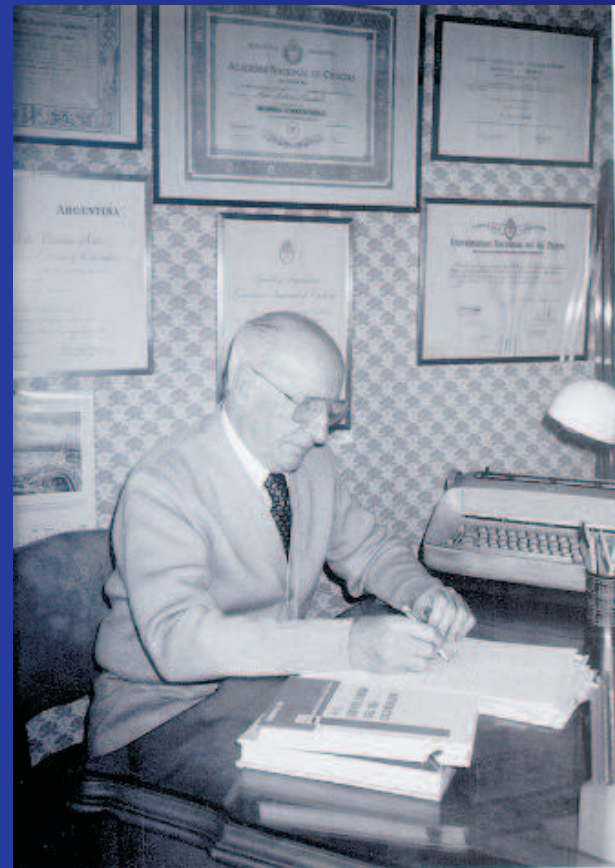


Foto recent de Lluís Santaló.



Lluís Santaló al despatx de casa (1988).

# Mesura de rectes. En el Pla

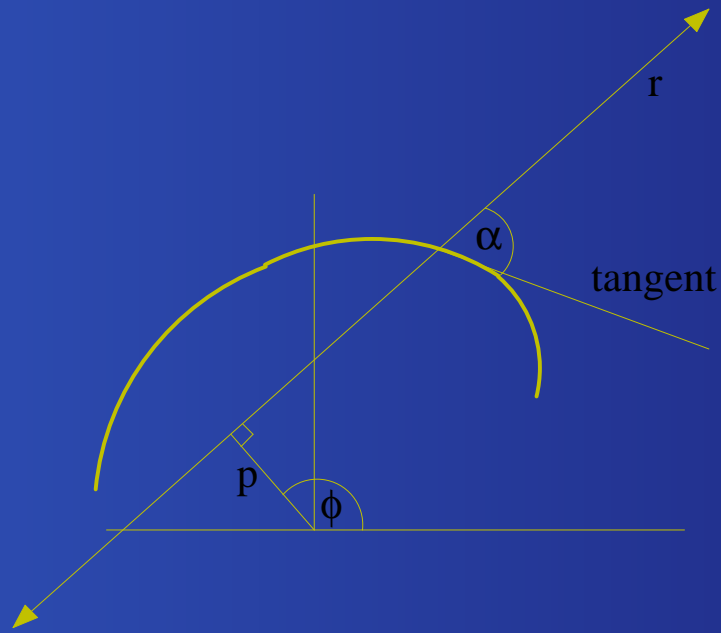
Densitat de rectes

- $dG = dp \ d\phi$

Mesura de rectes

- $m(G \cap C \neq \emptyset) = \int_{G \cap C \neq \emptyset} dG$

# Fórmula de Crofton



$$dp \, d\phi = \sin \alpha \, d\alpha \, ds. \quad 0 < \alpha \leq \pi$$

# Fórmula de Crofton

- Mesura de rectes que tallen una corba  $C$  de longitud  $L$ , amb multiplicitat:

$$\int_{G \cap C \neq \emptyset} n \text{ } dG = 2L$$

# Integral de curvatura per ovals

- Integrant  $k(s)dp\ d\phi = \underline{k(s)} \sin \alpha\ d\alpha\ \underline{ds}$

$$\int_{G \cap \text{oval} \neq \emptyset} (k_1 + k_2) \ dG = 4\pi$$

( $k_1$  i  $k_2$  curvatura de l'oval en els punts d'intersecció amb la recta  $G$ .)

# Mesura cinemàtica

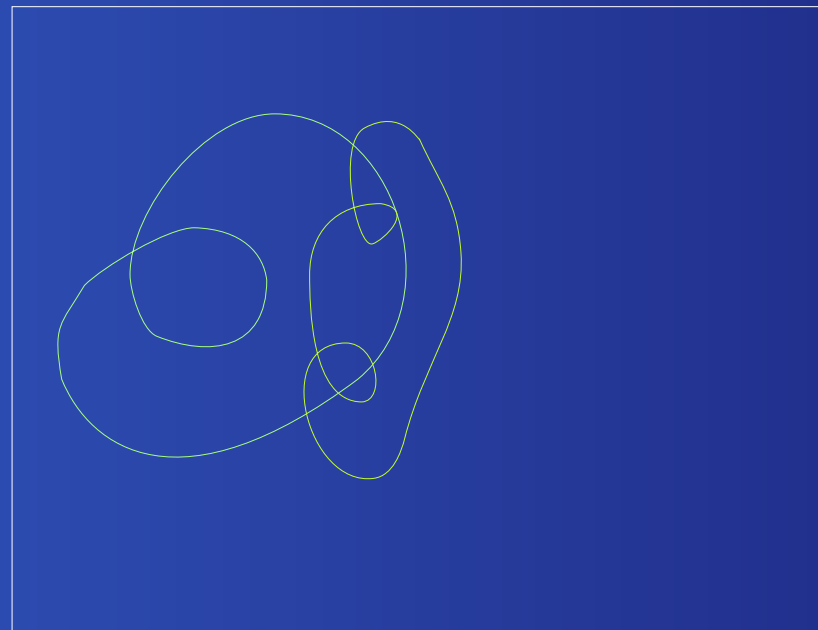
Densitat cinemàtica

- $dK = dx \ dy \ d\phi$

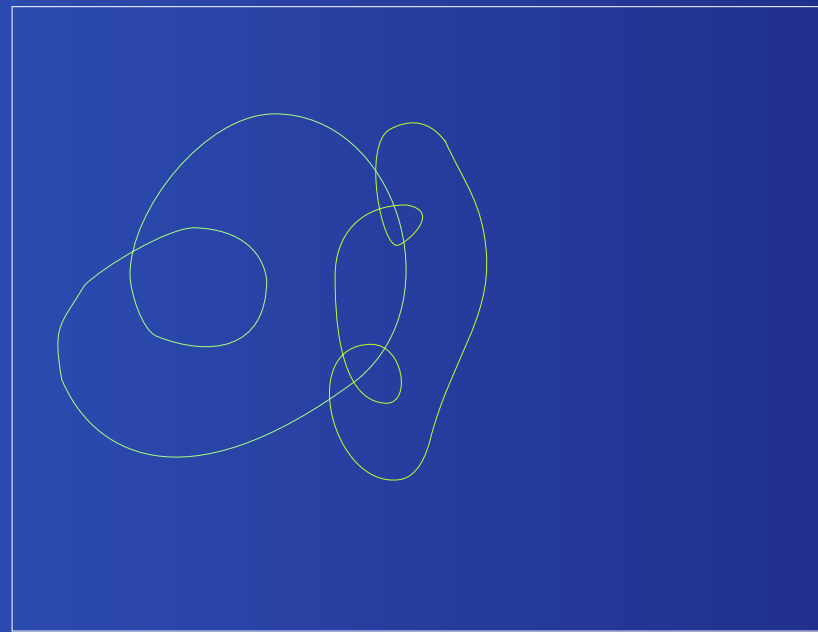
Mesura cinemàtica ( $K$  cos mòbil,  $K_1$  cos fix.)

- $m(K \cap K_1 \neq \emptyset) = \int_{K \cap K_1 \neq \emptyset} dK$

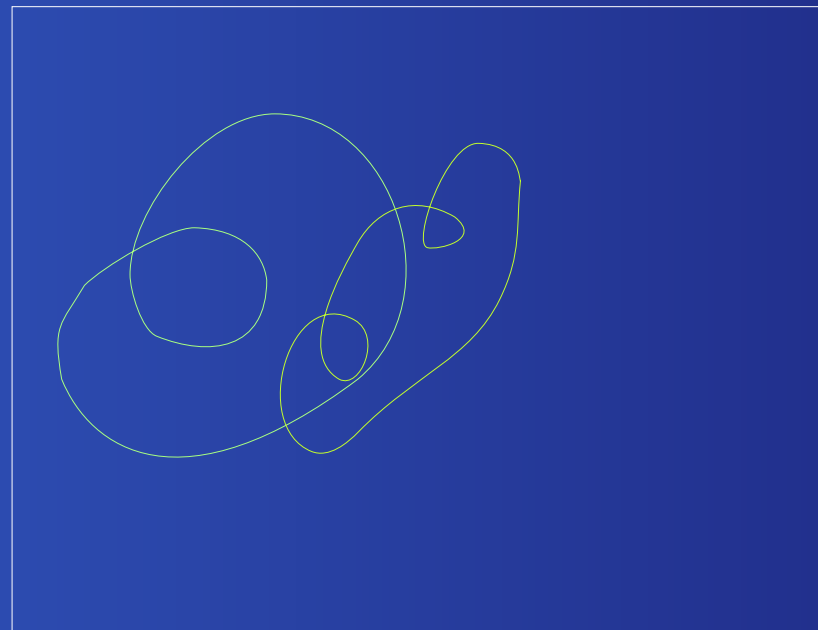
# Fórmula de Poincaré



# Fórmula de Poincaré



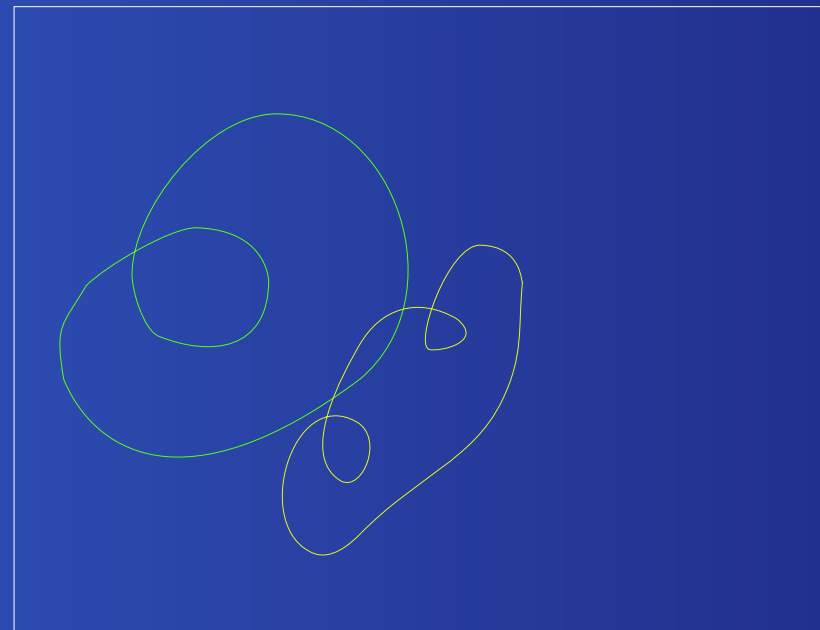
# Fórmula de Poincaré



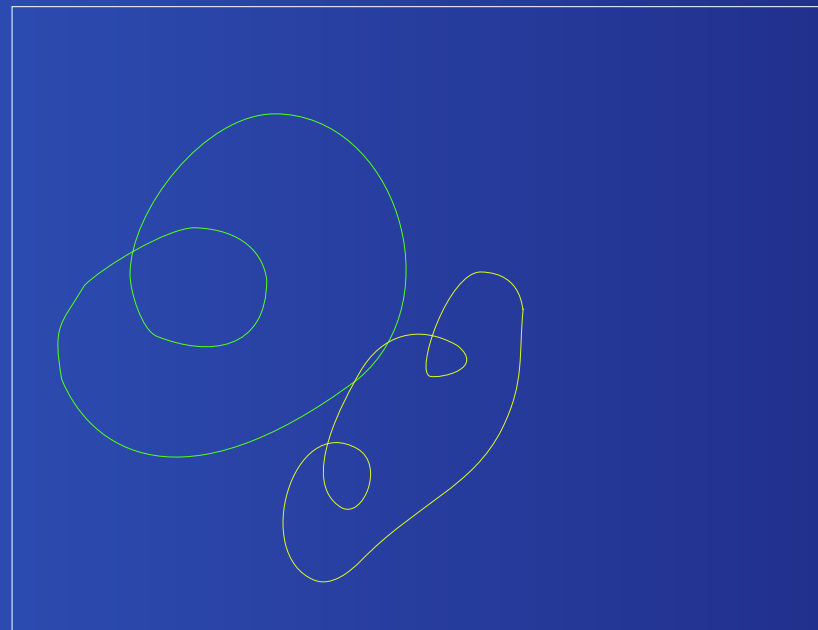
# Fórmula de Poincaré



# Fórmula de Poincaré



# Fórmula de Poincaré



# Fórmula de Poincaré



# Fórmula de Poincaré

$K_0$  (fixa) i  $K_1$  (mòbil) corbes de longituds  $L_0$  i  $L_1$ .

Donem  $K_1$  pels paràmetres arc  $s_0, s_1$  del punt de tall i l'angle  $\theta$  entre les tangents.

- $dK_1 = dx \ dy \ d\phi = |\sin\theta| ds_0 \ ds_1 \ d\theta$

Integrant (multiplicitats) tenim la fórmula de Poincaré

- $\int_{K_0 \cap K_1 \neq \emptyset} n \ dK_1 = 4 L_0 L_1$

# Poincaré, 1854 – 1912, París



# Fórmula de Blaschke

$C_0$  corba vora d'un domini fix  $K_0$  del pla.

$C_1$  corba vora d'un domini mòbil  $K_1$  del pla.

- (Fórmula de Blaschke per a convexos)

$$\int_{K_0 \cap K_1 \neq \emptyset} dK_1 = 2\pi(F_0 + F_1) + L_0 L_1$$

# **Blaschke, 1885 – 1962, Hamburg**



# Isoperimètrica

Suposem  $K_0$  i  $K_1$  convexos congruents del pla.

- Blaschke

$$\int dK_1 = 4\pi F + L^2$$

- Poincaré:

$$\int n \, dK_1 = 4L^2$$

# Isoperimètrica

Les integrals anteriors es poden escriure:

- $4\pi F^2 + L^2 = m_2 + m_4 + m_6 + \dots$
- $4L^2 = 2m_2 + 4m_4 + 6m_6 + \dots$
- $m_i$  = mesura de les posicions de  $K_1$  en les quals  $\partial K_1$  té  $i$  punts en comú amb  $\partial K_0$ .

# Isoperimètrica

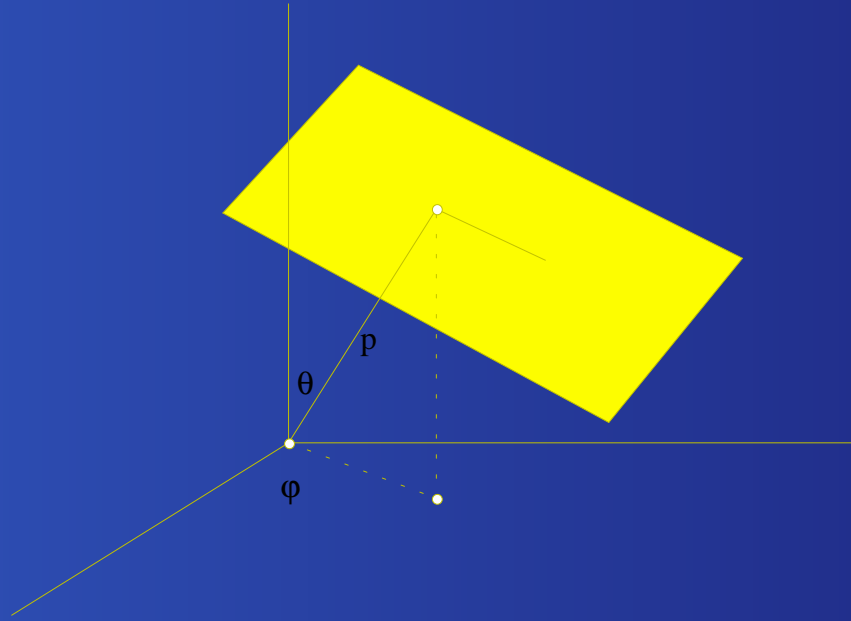
- Manipulant les igualtats anteriors obtenim l'interpretació geomètrica del **defecte** per a convexos:

$$L^2 - 4\pi F = m_4 + 2m_6 + 3m_8 + \dots$$

- En particular

$$L^2 - 4\pi F \geq 0$$

# Densitat de plans. A l'espai



•  $dE = \sin \theta dp d\varphi d\theta$

# Densitat de plans

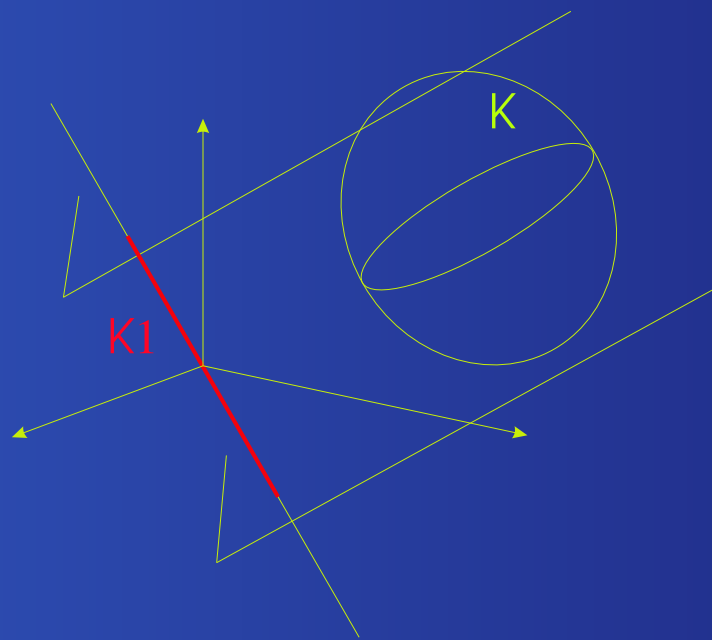
**Teorema** La mesura de plans que tallen un convex  $K$  és igual a l'integral  $M$  de la curvatura mitjana de la vora.

$$\int_{E \cap K \neq \emptyset} dE = M$$

on

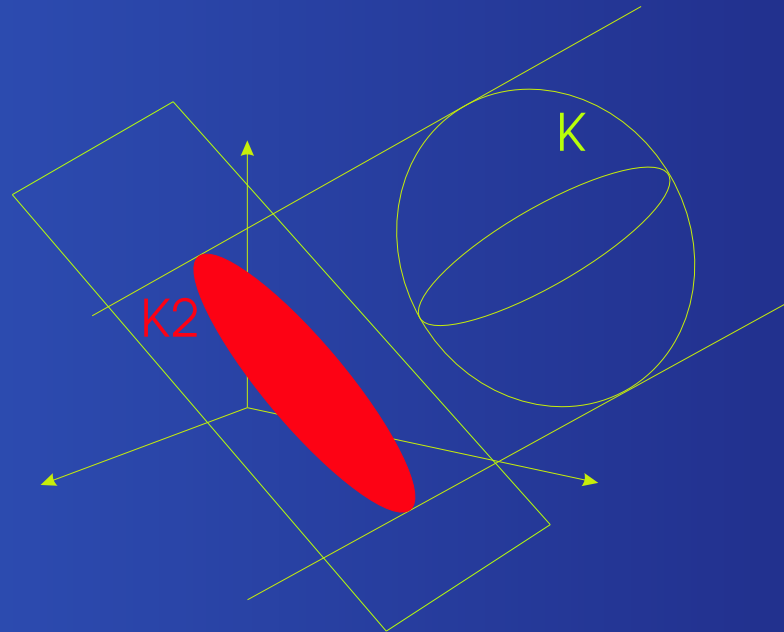
- $M = \int_{\partial K} \frac{k_1 + k_2}{2} dx,$        $dx = \text{element d'àrea}$

# Quermassintegral



- $W_2 = \text{mitjana de les longituds } K_1.$

# Quermassintegral



- $W_1 = \text{mitjana de les àrees } K_2.$

# Quermassintegral

- $W_1 = \frac{1}{2\pi} \int_{\mathbb{R}P^2} (\text{àrea projecció sobre } E) dE$
- $W_2 = \frac{1}{2\pi} \int_{\mathbb{R}P^2} (\text{longitud projecció sobre } G) dG$

# Quermassintegral

- $W_1 = \frac{1}{2\pi} \int_{\mathbb{R}P^2} (\text{àrea projecció sobre } E) dE$
- $W_2 = \frac{1}{2\pi} \int_{\mathbb{R}P^2} (\text{longitud projecció sobre } G) dG$
- És clar que sobre  $S^2(R)$ ,  $W_1 = 4\pi R^2$ ,  
 $W_2 = 2R$ .

# Quermassintegral

## Teorema

$$\text{Àrea} = 4W_1$$

$$M = 2\pi W_2$$

- L'àrea de la vora d'un cos és igual a quatre vegades la mitjana de les àrees de les seccions.
- Molt usada en medicina.

# Quermassintegral

Les quermassintegrals permeten parlar de curvatura mitjana de cossos no diferenciables.

- Poliedre convex amb arestes de longituds  $a_i$  i angles diedrics  $\alpha_i$ :

$$M = \frac{1}{2} \sum_i (\pi - \alpha_i) a_i$$

- Cilindre de revolució d'altura  $h$  i radi  $r$ :

$$M = \pi(h + \pi r)$$

# Quermassintegral

## Exemples

- Segment de  $\mathbb{R}^3$  de longitud  $h$  ( $r \rightarrow 0$ ):

$$M = \pi h$$

- Disc de  $\mathbb{R}^3$  de radi  $r$  ( $h \rightarrow 0$ ):

$$M = \pi^2 r$$

# Codimensió 1, dimensió $n$

Tenim una normal i per tant aplicació de **Gauss** i curvatura.

**Teorema [Gauss-Bonnet]** Sigui  $Q$  un obert de  $\mathbb{R}^n$  tal que  $\partial Q$  és una hipersuperfície compacta.

Llavors

$$\int_{\partial Q} K dx = \text{vol } (S^{n-1}) \chi(Q)$$

# Comparació de dos resultats

$Q$  obert de  $\mathbb{R}^3$ ,  $\partial Q$  hipersuperfície ( $\dim 2$ ) compacta.

- $$\int_{\partial Q} K dx = 2\pi \chi(\partial Q)$$

# Comparació de dos resultats

$Q$  obert de  $\mathbb{R}^3$ ,  $\partial Q$  hipersuperfície (dim 2) compacta.

- $$\int_{\partial Q} K dx = 2\pi \chi(\partial Q)$$

$Q$  obert de  $\mathbb{S}^2$ ,  $\partial Q$  hipersuperfície (dim 1) compacta.

- $$\int_{\partial Q} k_g ds = 2\pi \chi(\partial Q) - \text{Defecte}$$

# Comparació de dos resultats

$Q$  obert de  $\mathbb{R}^3$ ,  $\partial Q$  hipersuperfície (dim 2) compacta.

- $$\int_{\partial Q} K dx = 2\pi \chi(\partial Q)$$

$Q$  obert de  $\mathbb{S}^2$ ,  $\partial Q$  hipersuperfície (dim 1) compacta.

- $$\int_{\partial Q} k_g ds = 2\pi \chi(\partial Q) - \text{Àrea}$$

# Comparació de dos resultats

$Q$  obert de  $\mathbb{R}^3$ ,  $\partial Q$  hipersuperfície (dim 2) compacta.

- $$\int_{\partial Q} K dx = 2\pi \chi(\partial Q)$$

$Q$  obert de  $\mathbb{S}^2$ ,  $\partial Q$  hipersuperfície (dim 1) compacta.

- $$\int_{\partial Q} k_g ds = 2\pi \chi(\partial Q) - \text{Mesura de punts}$$

# Defecte en curvatura constant

**Teorema [E. Teufel, G. Solanes]** El **defecte** d'una hipersuperfície tancada  $\partial Q$  de l'esfera  $\mathbb{S}^n$  de radi 1 (o de l'esfera  $\mathbb{H}^n$  de radi  $i$ ) és la mesura amb multiplicitat del conjunt de  $(n - 2)$  plans que la tallen.

# Defecte en curvatura constant

**Teorema [E. Teufel, G. Solanes]** El **defecte** d'una hipersuperfície tancada  $\partial Q$  de l'esfera  $\mathbb{S}^n$  de radi 1 (o de l'esfera  $\mathbb{H}^n$  de radi  $i$ ) és la mesura amb multiplicitat del conjunt de  $(n - 2)$  plans que la tallen.

- $\int_{\partial Q} K dx = \text{vol} S^{n-1} \chi(Q) + \text{Defecte}$

# Defecte en curvatura constant

**Teorema [E. Teufel, G. Solanes]** El defecte d'una hipersuperfície tancada  $\partial Q$  de l'esfera  $\mathbb{S}^n$  de radi 1 (o de l'esfera  $\mathbb{H}^n$  de radi  $i$ ) és la mesura amb multiplicitat del conjunt de  $(n - 2)$  plans que la tallen.

- $\int_{\partial Q} K dx = \text{vol } S^{n-1} \chi(Q) + \text{Mesura de plans}$

# Defecte en curvatura constant

**Teorema [E. Teufel, G. Solanes]** El defecte d'una hipersuperfície tancada  $\partial Q$  de l'esfera  $\mathbb{S}^n$  de radi 1 (o de l'esfera  $\mathbb{H}^n$  de radi  $i$ ) és la mesura amb multiplicitat del conjunt de  $(n - 2)$  plans que la tallen.

- $\int_{\partial Q} K dx = \text{vol} S^{n-1} \chi(Q) + c \int_{\mathcal{L}_{n-2}} n dL_{n-2}$

# Defecte en curvatura constant

**Teorema [E. Teufel, G. Solanes]** El defecte d'una hipersuperfície tancada  $\partial Q$  de l'esfera  $\mathbb{S}^n$  de radi 1 (o de l'esfera  $\mathbb{H}^n$  de radi  $i$ ) és la mesura amb multiplicitat del conjunt de  $(n - 2)$  plans que la tallen.

- $\int_{\partial Q} K dx = \text{vol} S^{n-1} \chi(Q) + c \int_{\mathcal{L}_{n-2}} n dL_{n-2}$
- $n$  = número de talls,

# Defecte en curvatura constant

**Teorema [E. Teufel, G. Solanes]** El defecte d'una hipersuperfície tancada  $\partial Q$  de l'esfera  $\mathbb{S}^n$  de radi 1 (o de l'esfera  $\mathbb{H}^n$  de radi  $i$ ) és la mesura amb multiplicitat del conjunt de  $(n - 2)$  plans que la tallen.

- $\int_{\partial Q} K dx = \text{vol} S^{n-1} \chi(Q) + c \int_{\mathcal{L}_{n-2}} n dL_{n-2}$
- $n$  = número de talls,  $c$  = constant d'en Gil.

# La Maira i en Gil 2002 Budapest

